

4次元空間内のホモロジー球面

神戸大 理 鈴木晋一

研究集会。講演では、4次元ユークリッド空間 R^4 に埋込まれた3次元ホモロジー球面が、3次元球面 S^3 と同相になるための十分条件を与えたが、その後その議論に飛躍があることが判明したので、本稿では講演時に省略した最初の部分について報告する。読者のお許を乞う。

尚、 R^4 に埋込まれた3次元ホモロジー球面については、永瀬氏の報告[4]があるので参考されたい。

§1. 準備

考察はすべて Combinatorial Category で行う。

R^n を n 次元ユークリッド空間、 $S^n = R^n \cup \{\infty\}$ を n 次元球面とする。 D^n で R^n における標準的な n 次元球体を示す。

M^3 を、方向付可能な3次元閉多様体とする。特に本稿では R^4 (従って S^4) に埋込み可能なものののみを取り扱う。

対 $(M^3 \subset S^4)$, $(M^3 \subset \mathbb{R}^4)$ に対して、3次元閉多様体 $M^3 \subset S^4$ または \mathbb{R}^4 へ「埋込み」と、 S^4 または \mathbb{R}^4 に埋込まれた M^3 とを、適時、表わす。次に：とが知られる：

1.1. 命題 (本間)： 任意の $(M^3 \subset \mathbb{R}^4)$ に對し、ambient isotopy $H: \mathbb{R}^4 \times I \rightarrow \mathbb{R}^4 \times I$ が存在し、対 $(H_t(M^3) \subset \mathbb{R}^4)$ は次の条件をみたす： $\mathbb{R}^4 = \mathbb{R}^3 \times \mathbb{R}^1$ の 4 座標軸 \mathbb{R}^1 の座標を高さと考へて、 \mathbb{R}^1 に属する $H_t(M^3)$ の Morse 関数を与えたりとす。

指数 0 の臨界点の臨界値は、 $-\infty < t < -2$,

指数 1 の " , $-2 < t < -1$,

指数 2 の " , $1 < t < 2$,

指数 3 の " , $2 < t < +\infty$

内に、それそれある。 ◀

(1) 上記のように、臨界点をその指数の順に並べた埋込みを、整列埋込みと呼ぶ。以後ほとんど整列埋込みのみを考察することにする。

(2) 一般に、同じ指数の臨界点同志の順序は決らない。順序の交換が可能な場合の一般的取扱いが永瀬[4]である。

(3) $(M^3 \subset \mathbb{R}^4)$ を整列埋込みとする。有限個の臨界値を除く、 $M^3 \cap \mathbb{R}^3 \times \{t\} \equiv M_t$ は方向付可能な閉曲面である。特に、 $M_0 = M^3 \cap \mathbb{R}^3 \times \{0\}$ は連結となる。さて、 $G(M^3 \subset \mathbb{R}^4) = g(M_0)$ 、曲面 M_0 の種数、と定める。

1.2. 命題 (本間): $(M^3 \subset \mathbb{R}^4)$ を整列埋込みとすると, $(M^3; M^3 \cap \mathbb{R}_+^4, M^3 \cap \mathbb{R}_-^4; M_0)$ は M^3 の Heegaard 分解である。

ただし, $\mathbb{R}_+^4 = \mathbb{R}^3 \times [0, \infty)$, $\mathbb{R}_-^4 = \mathbb{R}^3 \times (-\infty, 0]$ とする。◀

これらが命題から, M^3 に関する多くの情報が, $M_0 = M^3 \cap \mathbb{R}^3 \times [0]$ に反映していることが予想される。

1.3. M_0 の構成: $(M^3 \subset \mathbb{R}^4)$ を整列埋込みとし, $G(M^3 \subset \mathbb{R}^4) = g(M_0) = p$ とする。 $M_2 = M^3 \cap \mathbb{R}^3 \times \{-2\}$ は、指數 0 の臨界点 s 個の。互いに交わらない 2 次元球面 $\Sigma_1 \cup \dots \cup \Sigma_s$ から成る。 M_2 は $\mathbb{R}^3 \times \{-2\}$ を $s+1$ 個の領域に分割する。そのうちでコンパクトでない領域を 外側 と名付け、以下この領域と境界を共有する領域を 内側 とし、残りの領域と内側と境界を共有する領域を外側とし、…、と同じようにして、 $s+1$ 個の領域を、内側と外側の 2 種に分ける。一般に有限個の閉曲面 $F_1 \cup \dots \cup F_s$ が \mathbb{R}^3 内にあるとき、このルールで従って、 $s+1$ 個の領域に内側と外側の区別をするものとする。

さて、 $\mathbb{R}^3 \times (-2, -1)$ 内では、 $s+p-1$ 個の指數 1 の臨界点があるが、これらは普通に、指數 1 のハンドル $h_i: D^1 \times D^2 \rightarrow \mathbb{R}^3 \times \{t\}$, $-2 < t < -1$, $i=1, 2, \dots, s+p-1$, が順次 M_2 に付加されると考えろ。閉曲面 M_2 にハンドル h_i を付加して得られる曲面を

$$M_2(h_i) \equiv M_2 - h_i(\partial D^1 \times D^2) \cup h_i(D^1 \times \partial D^2)$$

のように書き、帰納的に $M_2(h_1)(h_2) = M_2(h_1, h_2)$ のように書け

ば、 $M_2(h_1, h_2, \dots, h_{s+p-1}) = M_0$ となることが出来る。このとき Rowlett-Sanderson [6, §6] の notation を借用しよう。ハンドル h_i が b -sphere $h_i(\{0\} \times \partial D^2)$ を b_i とし、 b -tube $h_i(\{0\} \times D^2)$ を B_i , $i=1, 2, \dots, s+p-1$, と示すことにする。ところが、いわゆる handle-isotopy ([8], §2, p.116) を使えば、 p 個のハンドルについてはその a -sphere (2 点) が $\Sigma_1 \cup \dots \cup \Sigma_s$ のうちの同一の球面上にあり、残り $s-1$ 個のハンドルについてはその a -sphere が異なる球面上にありますように出来る、[8] Th. 2.3.

オ 1 のタイプのハンドルを 本質的ハンドル、オ 2 のタイプのハンドルを 繋ぎハンドルと呼ぼう。 $h_{\lambda_1}, h_{\lambda_2}, \dots, h_{\lambda_p}$ を本質的ハンドルとすると、 $\{b_{\lambda_1}, b_{\lambda_2}, \dots, b_{\lambda_p}\}$ はハンドル体 $M^3 \cap \mathbb{R}^4_-$ の meridian 系となる。さらに、 M_0 上に互いに素な單純閉曲線の族 $\{b_{\lambda_1}^*, b_{\lambda_2}^*, \dots, b_{\lambda_p}^*\}$ が次の性質をもつものが述べる：
 $b_j^* \cap b_j$ は唯一一つの交叉点から成り、 $b_j^* \cap b_k = \emptyset$ ($j \neq k$)。 $b_{\lambda_1}^*$ を b_{λ_1} の dual と呼ぶ。これは一意ではないが、ハンドル体 $M^3 \cap \mathbb{R}^4_-$ の 1st ホモロジー群の基底となる。特に $b_{\lambda_1}^* \subset \mathbb{R}^3 \times \{0\}$ が結び目として平凡に述べるととき、ハンドル h_{λ_1} は unknotted であるという。

一般に i 番目のハンドル h_i の core $h_i(D^1 \times \{0\})$ が $M_2(h_1, \dots, h_{i-1})$ の内側にあるとき、ハンドル h_i は内側にあるといい、外側にあるときは h_i は外側にあるといいう。

次に指數 2 の臨界点に対応して、指數 2 のハンドルが、空間 $\mathbb{R}^3 \times \{1, 2\}$ で順次 M_0 に付加される。指數 2 のハンドルを簡単には ドーム と呼び、 d_1, d_2, \dots, d_r で示す。 M_0 上には、互いに素な r 個の單純閉曲線 a_1, a_2, \dots, a_r が存在して、ドーム d_1, d_2, \dots, d_r が順次 a_1, a_2, \dots, a_r を a -sphere とする。 M_0 は付加される。 M_0 は d_1 が付加された後の閉曲面を

$$M_0(d_1) = M_0 - d_1(D^2 \times D^1) \cup d_1(D^2 \times \partial D^1)$$

のように書き、帰納的に $M_0(d_1)(d_2) = M_0(d_1, d_2)$ のように書けば、 $M_0(d_1, d_2, \dots, d_r)$ は $M^3 \cap \mathbb{R}^3 \times \{2\}$ と交えることを表す、これは指數 3 の臨界点、即ち 2 次元球面である。ドーム d_i が 本質的 とは、 $M_0(d_1, \dots, d_{i-1}, d_i)$ の種数が $M_0(d_1, \dots, d_{i-1})$ より小さいとき、鑿き とは、 $M_0(d_1, \dots, d_{i-1}, d_i)$ の連結成分の数が $M_0(d_1, \dots, d_{i-1})$ のそれより大きいときとする。一般に i 番目のドーム d_i が core $d_i(D^2 \times \{0\})$ が $M_0(d_1, \dots, d_{i-1})$ の内側（または外側）にあるとき、ドーム d_i は内側（または外側）にあるという。

この節の最後に次を挙げておく。

1.4. 命題： 本質的ドームの a -spheres と、本質的ハンドルの b -spheres として得られる M_0 上の閉曲線系 $\{a_1, \dots, a_p, b_1, \dots, b_p\}$ は、 M^3 の Heegaard 分解 $(M^3; M^3 \cap \mathbb{R}_+^4, M^3 \cap \mathbb{R}_-^4, M_0)$ の Heegaard 図式である。◀

§2. ホモロジー球面

これより M^3 を 3 次元ホモロジー球面に限る。

命題1.2 とレンズ空間についてよく知られる結果より、次が得られる。

2.1. 命題: $(M^3 \subset \mathbb{R}^4)$ を ホモロジー球面の整列埋込みとする。もし $G(M^3 \subset \mathbb{R}^4) \leq 1$ ならば、 $M^3 \cong S^3$ である。ここで \cong は“同相”を示す。◀

2.2. 補題: $(M^3 \subset \mathbb{R}^4)$ を ホモロジー球面の整列埋込みとし、 $G(M^3 \subset \mathbb{R}^4) = p > 0$ とする。本質的ハンドル $h_{\lambda_1}, \dots, h_{\lambda_p}$ のうち、 q 個が内側（従って $p-q$ 個が外側）にあれば、本質的ドーム $d_{\mu_1}, \dots, d_{\mu_p}$ のうち q 個が内側（従って $p-q$ 個が外側）にある。（永瀬[4] p.147, 系2 参照。）◀

この補題は実は、次の補題の帰結である。

2.2. 補題: $(M^3 \subset \mathbb{R}^4)$ を ホモロジー球面の整列埋込みとし、 h_i を 本質的ハンドルとする。 $b_i = h_i(\{0\} \times \partial D^2)$ の dual b_i^* を、 $M^3 \cap \mathbb{R}_+^4$ のホモロジーの元として、ホモロジカルに消去(cancel)するドームは、 h_i と同じ側にしかとれない。

証明は、ホモロジー球面の Heegaard 図式の特徴づけ（例えば、寺坂[10, 定理10]等を参照。Magnus et al[3] の p.178 前後に歴史的解説もある）を利用する。実際 M_0 は $S^3_0 = \mathbb{R}^3 \times \{0\} \cup \{\infty\}$ を 2 つの領域 V と W に分割するが、 $F \times [1, (1)]$ は

1. これらの領域は S^3 内のある線形グラフ (= 1 次元複体) の閉補空間に同相となる。特に、証明をよく見れば、次のようないくつか特別なグラフ、 p -leafed roses ([7, p.377, 1.2]), $(C \subset S^3)$, $(C' \subset S^3)$ が存在する: C は p 価の円周 $S_1 \cup \dots \cup S_p \subset S^3$ と p -forest Σ から成り, $C' \cong p$ 価の円周 $S'_1 \cup \dots \cup S'_p \subset S^3$ と p -forest Σ' から成る。 $S^3 - N(C; S^3) \stackrel{f}{\cong} V$, $S^3 - N(C'; S^3) \stackrel{g}{\cong} W$ 。もし本質的ハンドル h_i が内側ならば, $\partial N(S'_i; S^3)$ の longitude が $\partial W = M_0$ 上の閉曲線 b_i と g で対応し, $\partial N(S_i; S^3)$ の meridian が $\partial V = M_0$ 上の閉曲線 b_i と f で対応する。これらのことを使って、 γ の帰納法により証明される。いずれにしても、本稿でこの補題を使う部分については、更に直観的に判り易いので、詳細は省略する。

次の補題が成立する。

2.4. 補題: $(M^3 \subset \mathbb{R}^4)$ を ホモロジー球面の整列埋込みとし、特に $G(M^3 \subset \mathbb{R}^4) = 2$ とする。(もし必要ならば) 簡単なハンドルの消去を行えば、 $M^3 \subset \mathbb{R}^4$ の部分は次の 4 種の型に分類される ([8] p.120, Prop. 3.6 等参照。):

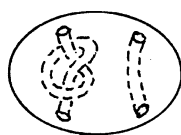
Type 0 : 0-ハンドルが 1 価 (Σ_1 とする), 本質的ハンドルが 2 価 (h_1, h_2 とする) あって、これらは Σ_1 に因って共に内側 (または外側) にある。

Type 1 : 0-ハンドルが 1 価 (Σ_1 とする), 本質的ハンドル

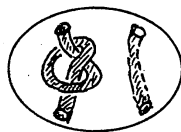
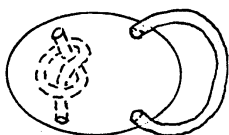
が2個 (h_1, h_2 とする) あって, h_1 が内側, h_2 が外側にあり,
 h_1 と h_2 は独立 (i.e. $h_1(D^1 \times D^2) \cap h_2(D^1 \times D^2) = \emptyset$) である。

Type 2: 0-ハンドルが1個 (Σ_1 とする), 本質的ハンドルが
 2個 (h_1, h_2 とする) があって, h_1 が内側, h_2 が外側にあり,
 h_2 は h_1 を通る (i.e. $h_1(\{0\} \times D^2) \cap h_2(D^1 \times \{0\}) \neq \emptyset$)。

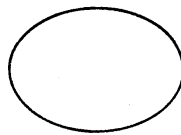
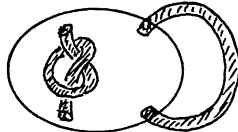
Type 3: 0-ハンドルが2個 (Σ_1, Σ_2 とする), 本質的ハンドル
 が2個 (h_1, h_2 とする), 繋ぎハンドルが1個 (h_3 とする) が
 あって, h_1 と h_2 は独立で, h_3 は h_1 と h_2 の両方を通る。 (従って
 h_1 と h_2 は内側にあり, h_3 は外側にあって, $h_1(\partial D^1 \times D^2) \subset \Sigma_1$,
 $h_2(\partial D^1 \times D^2) \subset \Sigma_2$ としてよ。)



$$-1 \leq t \leq 0$$

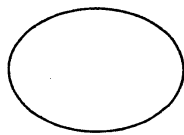


$$\begin{aligned} -2 &\leq t \leq -1 \\ \text{内の臨界値 } t_1 & \end{aligned}$$

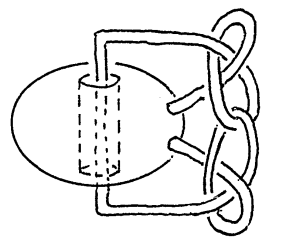
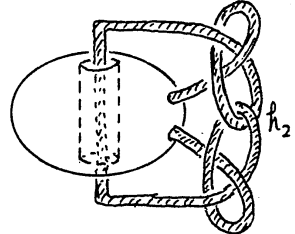
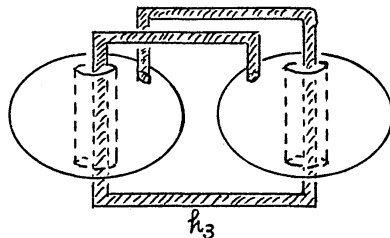
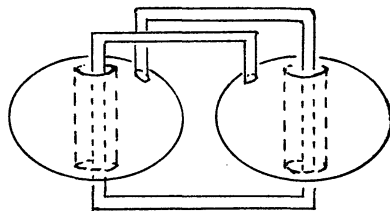
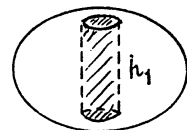
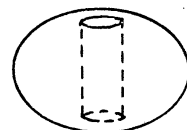
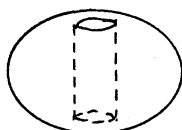
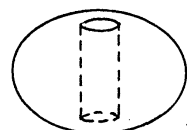
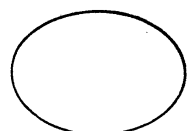
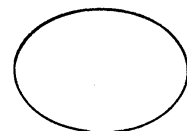
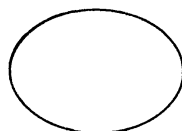


$$t = -3$$

Type 0



Type 1


 $-1 \leq t \leq 0$

 $-\frac{3}{2} < t < -1$
内の臨界値 t_2

 $t = -\frac{3}{2}$

 $-2 < t < -\frac{3}{2}$
内の臨界値 t_1

 $t = -2$

 $t = -3$

Type 2
Type 3

0-ハンドル \longleftrightarrow 3-ハンドル, ハンドル \longleftrightarrow ドーム と 対応させて、 $M^3 \cap R^4_+$ を全く対称的にながめると、 $M^3 \cap R^4_+$ も同様の4種の型に分類される。従って、 $M^3 \cap R^4$ 全体をながめると、

0-ハンドル → ハンドル → ドーム → 3-ハンドル の出方は 16
 通り（ハンドルとドームの側まで考えれば 16×2 通り）あるが、
 $R^3 \times \{0\}$ に関する対称性と、補題2.2 を考慮して整理すれば、
 次の 6 通りとなる。

	$M^3 \cap R_-^4$	$M^3 \cap R_+^4$
Type (0, 0)	Type 0	Type 0
Type (0, 3)	Type 0	Type 3
Type (1, 1)	Type 1	Type 1
Type (1, 2)	Type 1	Type 2
Type (2, 2)	Type 2	Type 2
Type (3, 3)	Type 3	Type 3

次が本稿の主定理である。

2.5. 主定理: ホモロジー球面 M^3 が、 $G(M^3 \subset R^4) = 2$ をもつ
 整列埋込み $(M^3 \subset R^4)$ を持つならば、 Type(0, 0), Type(1, 1) ま
 たは Type(1, 2) の整列埋込み $(M^3 \subset R^4)$ が存在する。特に、
 Type(0, 0) の整列埋込みを持つならば、 $M^3 \cong S^3$ である。◀

定理の最後の主張は、永瀬[4, p.138, 命題4]と本質的に
 同じものなので、証明は省略する。前半は、場合分けして次
 節で行う。

§3. 主定理の証明

Type(0,3), Type(3,3), Type(2,2) の整列埋込みの各々について、残りの Types の整列埋込みの存在を証明する。

3.1. 定理: ホモロジー球面 M^3 が、 Type(0,3) の整列埋込み ($M^3 \subset \mathbb{R}^4$) を持つならば、 M^3 は Type(0,0) の整列埋込みを持つ (従って、 $M^3 \cong S^3$)。

証明: 定義した用語の関係で、便宜上 Type(3,0) の場合に証明する。また、 $M^3 \subset \mathbb{R}^4 \subset S^4 = \mathbb{R}^4 \cup \{\infty\}$ とする。

2つの2次元球面 $\Sigma_1 \cup \Sigma_2$ の内側から、本質的ハンドル h_1 と h_2 がそれぞれ Σ_1 と Σ_2 に付加されている。そして $\Sigma_1 \cup \Sigma_2$ を繋ぐハンドル h_3 が外側にあって、 $h_1(\{0\} \times D^2)$ と $h_2(\{0\} \times D^2)$ を通る。指標1の臨界値を t_1, t_2 , $-2 < t_1 < -\frac{3}{2} < t_2 < -1$ とする。

M_0 の内側と外側をそれぞれ V, W とおく。仮定と、補題2.2から、2つの本質的ドーム d_1, d_2 は共に V 側にあってかつ独立だから、 $V \cong D^2 \times S^1 \sqcup D^2 \times S^1$ — すなわち h_1 と h_2 は共に unknotted である。そこで M^3 の別の整列埋込み ($\tilde{M}^3 \subset \mathbb{R}^4$) を次のように構成する: $\tilde{M}^3 \cap \mathbb{R}^3 \times (-\infty, t_2) = M^3 \cap \mathbb{R}^3 \times (-\infty, t_2)$ とし、 $\mathbb{R}^3 \times \{t_2\}$ でハンドル h_3 の代りに、新しい繋ぎハンドル \tilde{h}_3 を、外側にあって h_1 と h_2 を通るように付加する。この結果新しい閉曲面 $\tilde{M}_0 \subset S^3$ を得るが、構成から同相写像 ψ :

$M^3 \cap R^4_- \rightarrow \tilde{M}^3 \cap R^4_-$ を、各 $t, -\infty < t \leq 0$, について、 $M^3 \cap R^3 \times \{t\}$ $\rightarrow \tilde{M}^3 \cap R^3 \times \{t\}$ なるように作ることは容易である。 \tilde{M}_0 の内側・外側をそれぞれ \tilde{V}, \tilde{W} とおけば、 h_1 と h_2 が unknotted であることと、 h'_3 が h_1, h_2 と独立であることから、 $\tilde{V} \cong D^2 \times S^1$ と $D^2 \times S^1 \cong \tilde{W}$ となる。よって、各 t について、同相写像 φ は M_t の内部から \tilde{M}_t の内部への同相写像に拡張できる。従って特に、 $\varphi(a_1)$ と $\varphi(a_2)$ は、 \tilde{V} の円板を bound する。すなわち $\varphi(a_1)$ と $\varphi(a_2)$ を a-spheres とする本質的ドーム d'_1 と d'_2 が存在するから、 φ を拡張して、 $\varphi: M^3 \cap R^4_+ \rightarrow \tilde{M}^3 \cap R^4_+$ なる M^3 の整列埋込み ($\tilde{M}^3 \subset R^4$) を得る。 h'_3 が h_1 と h_2 とは独立だから、($\tilde{M}^3 \subset R^4$) を利用して、Type(0,0) の整列埋込みは容易に構成できる。◀

3.2. 定理：ホモロジー球面 M^3 が、Type(3,3) の整列埋込み ($M^3 \subset R^4$) を持つならば、 M^3 は Type(0,0) の整列埋込みを持つ（従って $M^3 \cong S^3$ ）。

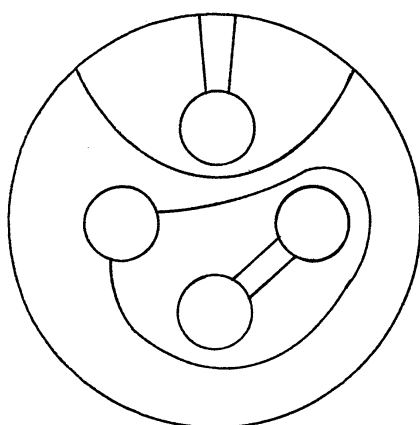
証明：前と同じように、 $M^3 \subset R^4 \subset S^4 = R^4 \cup \{\infty\}$ を考える。

2つの2次元球面 $M_2 = \Sigma_1 \cup \Sigma_2$ の内側から、臨界値 t_1 、
 $-2 < t_1 < -\frac{3}{2}$ 、で本質的ハンドル h_1 と h_2 がそれぞれ Σ_1 と Σ_2 に付加されてくる。臨界値 t_2 、 $-\frac{3}{2} < t_2 < -1$ 、で繋ぎハンドル h_3 が外側へ出で、 $h_1(\{0\} \times D^2)$ と $h_2(\{0\} \times D^2)$ を通る。 M_0 の内側、外側をそれぞれ V, W とおくと、 V は既定から、ハンドル

ドル $h_1 \times h_2 \times \text{cores}$ に対応する S^3 における結び目の閉補空間 $K_1 \times K_2$ の境界連結和 $K_1 \sqcup K_2$ と同相である。

さて仮定から、 $M^3 \cap \mathbb{R}^4_+$ は Type 3 であるから、臨界値 t_3 , $1 < t_3 < \frac{3}{2}$, で繋ぎドーム d_1 が、臨界値 t_4 , $\frac{3}{2} < t_4 < 2$, で本質的ドーム d_2, d_3 が付加されるとしてよい。補題 2.2 から、 d_2, d_3 は共に内側にあり、 d_1 は支わるから、 d_1 は外側、すなわち W にある。

円板 $A_1 = d_1(D^2 \times \{0\})$ と、いくつかの穴のある 2 つの円板 $\tilde{B}_1 = \text{Cl}(h_1(\{0\} \times D^2) - h_3(D^1 \times D^2))$, $\tilde{B}_2 = \text{Cl}(h_2(\{0\} \times D^2) - h_3(D^1 \times D^2))$ の交線を S^3_0 で考える。 W は irreducible だから、 $A_1 \cap (\tilde{B}_1 \cup \tilde{B}_2)$ のうち単純閉曲線は A_1 を isotopy で変形して除去できるし、 $\tilde{B}_1 \cup \tilde{B}_2$ 上の円板 ($\cong D^2$) を切り取る単純弧も同様にして除去できる。従って、 $A_1 \cap (\tilde{B}_1 \cup \tilde{B}_2)$ は各 \tilde{B}_i 上では下図のように単純弧から成ることがわかる。これらの弧が A_1 上で切り取る円板のうちの最小のものを利用して、繋ぎハンドル h_3 に適当な handle-isotopy を施すことにより、 $A_1 \cap (\tilde{B}_1 \cup \tilde{B}_2)$ の弧の数を少くできる…すなわち $A_1 \cap (\tilde{B}_1 \cup \tilde{B}_2) = \emptyset$ ができる。よって $a_1 = \partial A_1$ と $b_1 \cup b_2$ とも素である。



円板のうちの最小のものを利用して、繋ぎハンドル h_3 に適当な handle-isotopy を施すことにより、 $A_1 \cap (\tilde{B}_1 \cup \tilde{B}_2)$ の弧の数を少くできる…すなわち $A_1 \cap (\tilde{B}_1 \cup \tilde{B}_2) = \emptyset$ ができる。よって $a_1 = \partial A_1$ と $b_1 \cup b_2$ とも素である。

る。 M_0 上で $a_1 \sim 0$, $a_1 \neq 1$ だから, $a_1 \approx b_3$ である。この \sim はホモロジー, \cong はホモトープ, \approx はイントーブを示す。従って b_3 は W で可縮だから, $M_0 \times S^3_0$ における ambient isotopy で, b_3 は h_1 と h_2 を通らないように変形できるから, $M^3 \cap \mathbb{R}^4_-$ が Type 0 の整列埋込みを持つことになり, 定理 3.1 と合せて, 定理 3.2 の証明が完了する。◆

3.3. 定理: ホモロジー球面 M^3 が, Type (2, 2) の整列埋込み ($M^3 \subset \mathbb{R}^4$) を持つならば, M^3 は Type (1, 1) または Type (1, 2) の整列埋込みを持つ。

証明: $M^3 \subset \mathbb{R}^4 \subset S^4 = \mathbb{R}^4 \cup \{\infty\}$ を考察するのが便利である。

2 次元球面 $\Sigma_1 = M_2$ の内側から, 階層値 $t_1, -2 < t_1 < -\frac{3}{2}$, で本質的ハンドル h_1 が付加され, 外側から階層値 $t_2, -\frac{3}{2} < t_2 < -1$, で本質的ハンドル h_2 が付加されると考へてよい。しかも今 h_2 は h_1 を通る。仮定と補題 2.2 から本質的ドーム d_1, d_2 がある。階層値 $t_3, 1 < t_3 < \frac{3}{2}$, で d_1 が, 階層値 $t_4, \frac{3}{2} < t_4 < 2$, で d_2 が付加され, M_0 に離れて異なる側にある。 M_0 の内側を V , 外側を W とおくと, 仮定から V はハンドル h_1 の core に対応する S^3 内の結び目の閉補空間と $D^2 \times S^1$ の境界連結和 $K \# D^2 \times S^1$ と同相である。二つの場合に分けて考察しよう。

場合 I: d_1 が外側, i.e. $A_1 = d_1(D^2 \times \{0\}) \cap W$ であるとき: 定

理3.2 の証明と同じように、円板 $A_1 = d_1(D^2 \times \{0\})$ と、いくつかの穴のあいた円板 $\widetilde{B}_1 = \text{Cl}(h_1(\{0\} \times D^2) - h_2(D^1 \times D^2))$ の交線を W で考察する。 W は irreducible だから、単純閉曲線と \widetilde{B}_1 上で円板を切り取る単純弧が除去でき、 $A_1 \cap \widetilde{B}_1$ の交線は、3.2 の証明中の図と同様になる。 $A_1 \cap \widetilde{B}_1$ の弧が A_1 上で切り取る円板のうち最小のものを利用して、ハンドル h_2 に適当な handle-isotopy を施すことにより、 $A_1 \cap \widetilde{B}_1$ の弧の数を少くできる…すなわち、 $A_1 \cap \widetilde{B}_1 = \emptyset$ ができる。よって、 $a_1 = \partial A_1$ と b_1 は素である。従って特に a_1 とき、ハンドル h_2 が h_1 を通らなくて済む。というのは、 a_1 は必然的に（あるいは補題2.3から） b_2 が homological に消去するトーメの a -sphere で、 $b_2 \cap a_1 \neq \emptyset$ からである。よって、ハンドル h_2 を $\mathbb{R}^3 \times \{t_2\}$ で動かすことにより、 h_1 を通らないようにできる… h_1 と h_2 は独立…ので、 $M^3 \cap \mathbb{R}^4_-$ は Type 1 の整列埋込みを持つことになる。

場合II: d_1 が内側, i.e. $A_1 = d_1(D^2 \times \{0\})$ が V にあるとき: K が $D^2 \times S^1$ と同相でないならば、 K_2 は ∂ -irreducible であるから [9, Cor. 3.6] または Tsukui [11, p.101, (6.3), (6.4)] より $a_1 = \partial A_1$ は M_0 上で b_2 とイソトープになり、従って、 $a_1 \cap (b_1 \cup b_2) = \emptyset$ とできる。これは当然、homological に $b_1 + b_2$ も消去できず、 M^3 がホモロジ一球面であるという仮定に

反する。よって $K \cong D^2 \times S^1$, i.e. ハンドル h_1 は unknotted であることがわかる。特に $V \cong D^2 \times S^1 \# D^2 \times S^1$ である。

A_1 は V の meridian-disk で, $M_0(d_1) = M^3 \cap \mathbb{R}^3 \times \{\frac{3}{2}\} = M_{\frac{3}{2}}$ は種数 1 の閉曲面で, $S_{\frac{3}{2}}^3$ の内側は V の性質から $D^2 \times S^1$ と同相, 外側も $A_2 = d_2(D^2 \times \{0\})$ が存在するから $D^2 \times S^1$ と同相になる。従って V の meridian-disk C が存在し, $C \cap A_1 = \emptyset$, $\partial C \cap a_2$ は唯一つの交叉点から成る。

これらの性質を用いて, M^3 の別の整列埋込み ($\tilde{M}^3 \subset \mathbb{R}^4$) を次のように構成する: $\tilde{M}^3 \cap \mathbb{R}^3 \times (-\infty, t_2) = M^3 \cap \mathbb{R}^3 \times (-\infty, t_2)$ とし, $\mathbb{R}^3 \times \{t_2\}$ で, ハンドル h_2 の代りに, 新しい本質的ハンドル h'_2 を, h_1 を通らず, もう新しい閉曲面 $\Sigma(h_1, h'_2) = \tilde{M}_0$ の外側 \tilde{W} で $D^2 \times S^1 \# D^2 \times S^1$ と同相になるように, 付加する。この結果 3.1 の証明と同じように, 同相写像 $\varphi: M^3 \cap \mathbb{R}^4 \rightarrow \tilde{M}^3 \cap \mathbb{R}^4$ を各 t , $-\infty < t \leq 0$, について, $M^3 \cap \mathbb{R}^3 \times \{t\} \rightarrow \tilde{M}^3 \cap \mathbb{R}^3 \times \{t\}$ するように作る事が出来る。 \tilde{M}_0 に属する内側 \tilde{V} は $D^2 \times S^1$ と同相だから, φ は各 t について, M_t の内部から \tilde{M}_t の内部への同相写像に拡張される。従って, $\varphi(a_1)$ は \tilde{V} で円板を bound するから, 求めた \tilde{M}^3 の埋込みを, $\tilde{M}^3 \cap \mathbb{R}^3 \times [-\infty, \frac{3}{2}]$ まで作る事が出来る。 $\tilde{M}_{\frac{3}{2}} = \tilde{M}^3 \cap \mathbb{R}^3 \times \{\frac{3}{2}\}$ は, \tilde{M}_0 の作り方から, 種数 1 の閉曲面で, 特に $\# S_{\frac{3}{2}}^3$ の内側, 外側とも $D^2 \times S^1$ と同相である。ところが $\varphi(a_2)$ は一般に $\tilde{M}_{\frac{3}{2}}$ の longitude と交

やっていふが、必要ならば t_2' のひねり、本間[2, p.93]を適当に施す: とし; homology intersection number は 0 に出来る(実際, $g(a_2)$ と $\tilde{M}_{\frac{3}{2}}$ の meridian との homology intersection number が 1 だから)。従って $D^2 \times S^1$ の特性から, $g(a_2)$ は $\tilde{M}_{\frac{3}{2}}$ の外側で円板を bound することになり, g を使って求めた \tilde{M}^3 をすべて a t について完成することができる。勿論 ($\tilde{M}^3 \subset \mathbb{R}^4$) は Type (1, 2) ではあるので、証明は完了する。◀

<注> 定理3.3 の証明の場合Ⅱで, d_1 と d_2 を独立に出来るとは限らない。しかし, d_2 を変えることにより, a_2 と b_1 の homology intersection number を 0 にするには、容易に出来る。

参考文献

- [1] Fox, R. H.: On the imbeddings of polyhedra in 3-space, Ann. of Math. (2), 49 (1948), 462-470.
- [2] 本間龍雄: Heegaard分解と曲面上の曲線系について, 数理解析研講究録 219 (Knotting problem については), 1974, pp. 90-102.
- [3] Magnus, W.- Karrass, A.- Solitar, D.: Combinatorial Group Theory, Interscience Pub., 1966.
- [4] 永瀬輝男: 4次元ユークリッド空間内の特殊ホモ

ロジー 3-球面についての一考察, 数理解析研講究録

152 (Combinatorial Topology), 1972, pp. 130-153.

[5] Nagase, T.: An example of homology 3-sphere, ibid, pp. 154-159.

[6] Rourke, C.P.-Sanderson, B.J.: Introduction to Piecewise-Linear Topology, Springer, 1972.

[7] Suzuki, S.: Linear graphs in 3-sphere, Osaka J. Math., 7 (1970), 375-396.

[8] ———: On a complexity of a surface in 3-sphere, Osaka J. Math., 11 (1974), 113-127.

[9] ———: On surfaces in 3-sphere: Prime decompositions, Hokkaido Math. J., (to appear)

[10] 寺坂英寿: 闭曲面上の闭曲线群について, 数理解析研講究録 219 (Knotting problem), 1974, pp. 70-89.

[11] Tsukui, Y.: On surfaces in 3-space, Yokohama Math. J., 18 (1970), 93-104.